



انجمن علوم و تکنولوژی سطح ایران

# پانزدهمین سمینار ملی مهندسی سطح

پژوهشگاه مواد و انرژی  
۱۳۹۳ و ۳۰ مهرماه

## بررسی خواص نوری و ساختاری لایه نازک کربن شبه الماسی آمورف (a:DLC) ایجاد شده با روش انباشت توسط کندوپاش پرتو یونی (IBSD)

الهام محقق پور<sup>۱</sup>، مرجان رجبی<sup>۱</sup>، رضا غلامی پور<sup>۱</sup>، شهاب شیانی<sup>۲</sup>، سیامک عظیمی نام<sup>۱</sup>، مجید ملک<sup>۲</sup>

۱. سازمان پژوهش‌های علمی و صنعتی ایران (به ترتیب دانشجوی دکترای مهندسی مواد، استادیار، استادیار، مرتبی)

۲. پژوهشکده کاربرد پرتوها (دانشیار)

۳. پژوهشکده شتابگرها (کارشناس)

### چکیده

در تحقیق حاضر رشد لایه نازک کربن شبه الماسی آمورف با استفاده از روش IBSD بر زیرلایه آلیاژی نیکل-مس انجام و خواص نوری و ساختاری آببوسیله طیف سنجی رaman، میکروسکوپ نیروی اتمی و طیف سنجی UV-visible مورد مطالعه قرار گرفته است. نتایج بررسی طیف رaman لایه های نازک‌بیانگر آنستکهجریان و ولتاژ شتابدهنده بر نسبت شدت باند D به G ۰/۸۹ از  $I_D/I_G$  به ۰/۸۷ کاهش می یابد. مطالعه طیف عبور لایه های نازک، کاهش میزان عبور نور از ۸۴٪ در ناحیه مرئی را به کمتر از ۳۰٪ در ناحیه فرابنفش (۳۰۰ nm در طول موج) نشان می دهد. بر این اساس، گاف انرژی نوری لایه های نازک کربن شبه الماسی آمورف با زبری سطح ۴/۲۵~nm برابر با ۲eV محاسبه شده است.

**واژه‌های کلیدی:** لایه نازک، کربن شبه الماسی آمورف، کندوپاش پرتو یونی، گاف انرژی نوری، مورفولوژی.

<sup>۱</sup>. Elham<sup>۱</sup>mohaghegh@yahoo.com

## مقدمه

کربن شبه الماسی آمورف<sup>۱</sup> (DLC) ساختاری نیمه پایدار از کربن آمورف است که حاوی درصد بالایی از پیوندهای SP<sup>۲</sup> می باشد و خواص ساختاری و نوری شبیه به الماس دارد [۱ و ۲]. به علت خواص ویژه‌ی DLC مانند خنثایی شیمیایی، سختی مکانیکی و مقاومت سایشی بالا، مقاومت الکتریکی زیاد، جذب پایین نور در محدوده فروسرخ، شفافیت در محدوده نور مرئی و گاف انرژی نوری کوچک، لایه‌های نازک این ماده در دو دهه اخیر به طور گستردۀ برای کاربرد در زمینه‌های مختلف اپتیک، الکترونیک، مکانیک، پزشکی مانند ابزارهای میکروالکترومکانیکی، پوشش‌های محافظ دریچه‌های نوری، دیسکهای ذخیره مغناطیسی مطالعه و استفاده شده است [۳ و ۶]

رشد این ساختار که اولین بار توسط آیزنبرگ<sup>۴</sup> و چابت<sup>۵</sup> در سال ۱۹۷۱ و به روش انباشت پرتو یونی [۳] گزارش شده، به روشهای فیزیکی و شیمیایی مختلفی مانند کندوپاش<sup>۶</sup>، انباشت به وسیله لیزر<sup>۷</sup>، انباشت با استفاده از تبخیر شیمیایی همراه با پلاسماء<sup>۸</sup>، انباشت توسط قوس فیلتر شده<sup>۹</sup> و انباشت با استفاده از پرتو یونی<sup>۱۰</sup> نیز انجام شده است [۱۰ و ۱۱ و ۱۲]. در میان روش‌های فوق، روش کندوپاش پرتو یونی به علت وجود امکان کنترل انرژی یونها و دانسته جریان یون به صورت مستقل برای ایجاد لایه‌های نازک کربن آمورف به صورت گستردۀ ای استفاده می شود [۵]. یکی از کاربردهای مهم پوشش‌های کربنی به عنوان لایه محافظ در ایمپلنت‌های مورد استفاده در بدن جهت جلوگیری از ایجاد حساسیت و آزادسازی یونهای فلزی و سایش در استفاده طولانی مدت فلزات می باشد [۱۱-۱۲].

در تحقیق حاضر از لایه نازک کربن برای پوشش دهی آلیاژ نیکل-مس که به علت خواص مغناطیسی مطلوب در فرآیند گرمادرمانی مورد استفاده قرار می گیرد استفاده شده است. خواص ساختاری لایه‌های نازک کربن که به روش IBSD<sup>۱۰</sup> بر زیرلایه آلیاژ انباشت شده است مورد بررسی قرار گرفته است. جهت بررسی خواص نوری لایه‌های نازک، پوشش دهی همزمان بر زیرلایه شیشه نیز انجام و مورد مطالعه قرار گرفته است.

## مواد و روش تحقیق

در تحقیق حاضر از آلیاژ Ni-Cu با ترکیب وزنی (۴٪-۷۰/۶) و شیشه به عنوان زیرلایه استفاده شده است. قبل از فرآیند لایه نشانی، عملیات چربی زدایی و شستشوی نمونه‌ها در حمام اولتراسونیک به ترتیب با استفاده از

<sup>۱</sup> amorphous diamond like carbon films

<sup>۲</sup> Aisenberg

<sup>۳</sup> Chabot

<sup>۴</sup> sputtering

<sup>۵</sup> Pulsed Laser Deposition

<sup>۶</sup> Plasma Enhanced Chemical Vapour Deposition

<sup>۷</sup> Filtered vacuum arc

<sup>۸</sup> Ion Beam Sputtering Deposition

استن به مدت ۱۰ دقیقه، اتانول ۵ دقیقه و آب مقطر، انجام شد. عملیات لایه نشانی به روش IBSD با استفاده از دستگاه MBM<sup>۱۰۰</sup> انجام گرفت.

شکل (۱) به صورت نمادین فرآیند انباشت به روش کندوپاش پرتویونی را نشان می دهد. یک ورق گرافیتی خالص منبع کربن است. برای انجام لایه نشانی در دمای محیط، دمای زیرلایه با سیستم آبگرد کنترل می شود. فرآیند لایه نشانی با رسیدن به خلاء تقریبی  $10^{-6}$  torr آغاز و در محیط پلاسمای آرگون در فشار تقریبی  $10^{-5}$  torr<sup>۳</sup> $\times 10^{-5}$  انجام شده است. مدت زمان لایه نشانی نمونه های آلیاژی با توجه به وجود محدودیت در ضخامت لایه نازک قابل قبول جهت بررسی ساختاری توسط طیف رaman به مدت ۳ ساعت و شیشه به مدت ۲۰ دقیقه با ولتاژ ثابتدهنده ۲/۲ کیلوولت در نظر گرفته شده است. در طول لایه نشانی با تغییر ولتاژ و جریان فیلامنت و تخلیه الکتریکی، جریان ثابت (۲۵ mA) در نظر گرفته شده است.

برای بررسی ساختارپوشش‌های کربنی و مطالعه پیوندها و چیدمان اتمهای کربن از طیف سنجی رaman استفاده شده است. برای این منظور از دستگاه رaman بالیزر Nd-YAG، طول موج ۵۳۲ nm و توان ۱ mW استفاده شده است. ضخامت پوشش‌های کربنی با استفاده از پروفایلمتر مکانیکی DekTak ۳ اندازه گیری شده است. مورفولوژی و زبری لایه های پوشش داده شده با استفاده از میکروسکوپ نیروی اتمی (C26,DME,Denmark) مورد بررسی قرار گرفته است. طیف عبور لایه کربن ایجاد شده، با استفاده از طیف سنج UV-vis (JASCO V-570) در بازه طول موج های ۳۰۰-۸۰۰ nm اندازه گیری شده است.

## نتایج و بحث

شکل (۲) طیف رaman بدست آمده از سطح پوشش کربنی لایه نشانی شده در شرایط مختلف را نشان می دهد. طیف در محدوده جایه جایی رaman در بازه  $1000-2000\text{ cm}^{-1}$  اندازه گیری شده است. همانگونه که در شکل مشاهده می شود طیف از قله ای در نزدیکی  $1550\text{ cm}^{-1}$  و پله ای در حدود  $1360\text{ cm}^{-1}$  تشکیل شده است که حاصل همپوشانی دو قله است. لذا برای بررسی دقیقتر جزئیات طیف لازم است دو قله از هم تفکیک شوند. تفکیک این دو قله با استفاده از نرم افزار Origin و به روش گوسین انجام شده است. موقعیت، شدت و پهنای کامل در نیمه بیشینه (FWHM) قله ها در جدول (۱) گزارش شده است. قله نخست در طیف‌های Raman در نزدیکی  $1550\text{ cm}^{-1}$  به باند G معروف است و مربوط به پیوندهای Sp<sup>۲</sup> در ساختار گرافیت می باشد. قله دیگر که در محدوده  $1360\text{ cm}^{-1}$  قرار دارد، باند D نامیده می شود و مربوط به عیوب بین صفحه ای در ساختار گرافیت و حضور حلقه های شش ضلعی در فازهای گرافیتی بی نظم است. موقعیت، شدت و پهنای هر کدام از این پیک ها مشخصات جالب توجهی از ساختار کربنی را ارائه می دهند [۱۶-۱۹]. در طیف Raman به علت حساسیت بیشتر آنالیز به مکانهای پیوندی sp<sup>۲</sup> نسبت به پیوندهای sp<sup>۳</sup> در کربن، کاهش پیوندهای sp<sup>۲</sup> به عنوان معیاری برای افزایش پیوندهای sp<sup>۳</sup> در نظر گرفته می شود [۱۷]. با توجه به تعریف پیکهای D و G در طیف Raman

<sup>۱</sup>Mix Beam Modification

با کاهش  $I_G/I_D$  تعداد حلقه ها در هر خوشه کاهش می یابد یعنی اندازه گروههای زنجیره ای کم می شود که این پدیده همراه با افزایش مقدار پیوندهای  $Sp^3$  در ساختار است [۱۴و۱۷]. همانطور که در جدول (۱) ملاحظه می شود مقدار  $I_G/I_D$  بدست آمده از ساختار لایه نازکربن، همخوانی خوبی با مقادیر گزارش شده در مقالات در مورد ساختار شبه الماسی دارند بنابراین می توان نتیجه گرفت که ساختار کربنی انباسته شده، DLC می باشد [۲۰و۱۶].

شکل (۳) طیف عبوری لایه نازک DLC را بر زیر لایه شیشه نشان می دهد. بررسی طیف عبور، کاهش میزان عبور نور از ۸۴٪ در ناحیه مرئی را به کمتر از ۳۰٪ در ناحیه فرابنفش (۳۰۰ nm در طول موج ۲۵٪) نشان می دهد که نزدیک به مقادیر گزارش شده در تحقیقات دیگر می باشد. این خود دلیل دیگری بر ایجاد DLC می باشد: شرایط موجود در تحقیق حاضر است [۱۸و۶]. در ادامه با استفاده از رابطه زیر گاف انرژی لایه کربن محاسبه می شود [۱۸]:

در این رابطه  $\alpha$  ضریب جذب لایه نازک،  $h$  ثابت پلانک،  $V$  فرکانس فوتون تابشی به لایه نازک،  $A$  یک مقدار ثابت و  $E_{hv}$  گاف انرژی پتیکی می باشد. همانطور که در شکل (۴) ملاحظه می شود مقدار گاف انرژی لایه نازک کربن شبه الماسی آمورف انباست شده بر شیشه تقریباً  $2 eV$  می باشد که قابل مقایسه با تحقیقات دیگر در این زمینه است [۱۸و۶].

مورفولوژی لایه نازک DLC در نمودارهای شکل (۵) نمایش داده شده است. همانطور که ملاحظه می شود با استفاده از روش لایه نشانی مذکور به مدت ۲۰ دقیقه، لایه ای با ضخامت  $113 nm$  و زبری  $4/25 nm$  انباست شده است که در مقایسه با گزارشات صورت گرفته در مقالات دیگر ضخامت و زبری بالاتری دارد [۱۹و۴]. نتیجه مذکور از طریق بررسی عوامل موثر بر زبری سطح قبل تحلیل می باشد. انرژی یونهای اعمالی و مقدار تنش باقیمانده در لایه نازک عوامل موثر بر زبری سطح است. بمباران ذرات پرانرژی باعث افزایش تحرک<sup>۱</sup> اتمهای کربن در سطح لایه نازک در حال رشد می شود که جاهای خالی موجود در لایه نازک و در نتیجه زبری سطح را کاهش و چگالی لایه را افزایش می دهد. البته این نکته باید در نظر گرفته شود که افزایش زیاد انرژی جنبشی اتمهای کربن می تواند منجر به انجام فرآیند کندوپاش مجدد<sup>۲</sup> در سطح لایه نازک و در نتیجه تخریب سطح شود که نتیجه آن افزایش زبری سطح می باشد. علاوه بر آن تنش باقیمانده بالا در لایه ها انرژی آزاد لایه نازک را افزایش می دهد که افزایش آشفتگی سطحی می تواند باعث کاهش انرژی آزاد لایه نازک شود بنابراین زبری سطح تحت تاثیر اتم های نفوذی با انرژی بالاتر از کندوپاش مجدد و افزایش انرژی آزاد لایه نازک تحت تاثیر افزایش ضخامت، افزایش می یابد [۱۹]. در تحقیق حاضر با توجه به ضخامت بالای لایه نازک و انرژی زیاد یونهای اعمالی در مقایسه با تحقیقات دیگر افزایش زبری سطح قبل قبول می باشد [۱۹و۵و۴].

<sup>۱</sup>mobility  
<sup>۲</sup>resputtring

ایجاد پیوندهای الماسی به صورت تئوری توسط مدل میله‌های حرارتی<sup>۱</sup> قابل بررسی می‌باشد. بر اساس مدل مذکور در لایه نشانی توسط پرتو یونی، از برخورد یون با انرژی E به سطح زیرلایه یا فیلم در حال رشد، در فاصله t از محل برخورد یون و بعد از گذشت زمان t بر اساس معادله زیر دمای T حاصل می‌شود[۱۳]:

$$T = \frac{E}{\gamma} (C_p)^{1/\gamma} \exp\left(-\frac{C_p r}{\epsilon K t}\right)$$

که E انرژی فراهم شده به وسیله ذرات، K هدایت گرمایی فیلم یا زیرلایه، C ظرفیت گرمایی و ρ دانسیته می‌باشد. با استفاده از رابطه فوق یون با انرژی  $100\text{ eV}$  در فاصله شعاعی  $75\text{ nm}$  دما را حداقل تا  $3823\text{ K}$  بالا می‌بردو در بازه زمانی  $10^{-11} \text{ s} \times 10^{-11} \text{ s}$  پایدار نگه می‌دارد که این زمان در مقایسه با دوره ارتعاش بدست آمده از دمای دبی الماس که  $10^{-14} \text{ s} \times 10^{-14} \text{ s}$  طولانی است. علاوه بر آن افزایش فشار حاصل از شوک اعمالی یون در سطح در حد  $10^5 \text{ atm}$  می‌باشد. هر چند فرضیات مذکور بسیار ساده هستند اما امکان ایجاد فشار و دمای بالا به مقدار نیاز برای تشکیل پیوندهای الماسی را در ابعاد اتمی تایید می‌کند[۱۳]. نتایج حاصل از فرآیند پوشش دهی در تحقیق حاضر که مورد بررسی قرار گرفت و گزارش‌های محققان دیگر مساله مذکور را به لحاظ آزمایشگاهی تایید می‌نماید [۱۵-۱۸].

### نتیجه‌گیری

پوشش‌های کربنی آمورف به روش کندوپاش پرتو یونی ایجاد شده و خواص نوری و ساختاری پوشش حاصل مورد بررسی قرار گرفت که به اختصار ارائه می‌گردد:

- (۱) بر اساس مدل میله‌های حرارتی در لایه نشانی توسط پرتو یونی، افزایش انرژی یونهای اعمالی منجر به افزایش دما در محل برخورد یون به تارگت و در نتیجه لایه در حال رشد می‌شود که این امر شرایط تشکیل پیوندهای Sp<sup>3</sup> را تسهیل می‌کند.
- (۲) بررسی طیف رامان نشان می‌دهد که نسبت  $I_D/I_G$  لایه نازک شبه الماسی حاصل با استفاده از روش انباست
- (۳) تقریباً  $2\text{ eV}$  می‌باشد.
- (۴) بررسی مورفولوژی سطح با استفاده از آنالیز AFM انباست لایه ای با ضخامت  $113\text{ nm}$  و زبری  $4/25\text{ nm}$  را نشان می‌دهد.

<sup>۱</sup> Thermal Spike Models of Ion Action

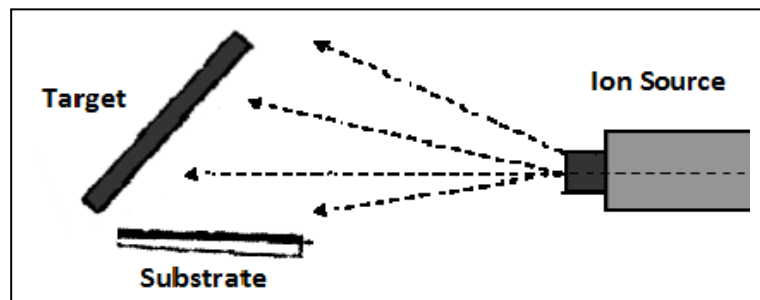
## مراجع

۱. J. Robertson, "Diamond-Like Amorphous Carbon", *Materials Science and Engineering R*, ۲۰۰۲, ۱۲۹-۲۸۱.
۲. P. Silva, S. Ravi, " properties of amorphous carbon", INSPEC, Institution of Engineering and Technology, university of surrey, Uk, ۲۰۰۳.
۳. S. Aisenberg, R. Chabot, "Ion-beam deposition of thin films of diamondlike carbon", *J. Appl. Phys.*, ۴۲, ۱۹۷۱, ۲۹۰۳-۲۹۰۸.
۴. Won Seok Choi and Byungyou Hong, "Synthesis and Characterization of Diamond-Like Carbon Protective AR Coating", *Journal of the Korean Physical Society*, ۴۵, ۲۰۰۴, S۸۶۴-S۸۷۷.
۵. Y. Tanga, Y.S. Li b, Q. Yanga, A. Hirose, "Characterization of hydrogenated amorphous carbon thin films by end-Hall ion beam deposition", *Applied Surface Science*, ۲۵۷, ۲۰۱۱, ۴۶۹۹-۴۷۰۰.
۶. SunitaKundoo, SatyajitKar," Nitrogen and Boron Doped Diamond Like Carbon Thin Films Synthesis by Electrodeposition from Organic Liquids and Their Characterization ", *Advances in Materials Physics and Chemistry*, ۳, ۲۰۱۳, ۲۰-۳۲.
۷. N. Savvides," Optical constants and associated functions of metastable diamondlike amorphous carbon films in the energy range ۰.۰-۷.۳ eV ",*Journal of Applied Physics*, ۵۹, ۱۹۸۶, ۴۱۳۳-۴۱۴۵.
۸. Y. F. Lu, S. M. Huang, C. H. A. Huan and X. F. Luo, "Amorphoushydrogenatedcarbon synthesized by pulsed laser deposition from cyclohexane ", *Applied Physics A Materials Science & Processing*, ۶۸, ۱۹۹۹, ۶۴۷-۶۵۱.
۹. S. Kumar, C. M. S. Rauthan, P. N. Dixit, K. M. K. Sri- vatsa, M. Y. Khan and R. Bhattacharyya, "Versatile Mi- crowave PECVD Technique for Deposition of DLC and Other Ordered Carbon Nanostructures", *Vacuum*, ۶۳, ۳, ۲۰۰۱, ۴۳۳-۴۳۹.
۱۰. J.-W. Chung, C.-S. Lee, D.-H. Ko, J. H. Han, K. Y. Eun and K.-R. Lee, "Biaxial elastic modulus of very thin diamond-like carbon (DLC) films", *Diamond Related Materials*, ۱۰, ۲۰۰۱, ۲۰۶۹.
۱۱. Grill, "Diamond-like carbon coatings as biocompatible materials-an overview", *Diamond and Related Materials*, ۱۲, ۲۰۰۳, ۱۶۶-۱۷۰.
۱۲. R. Hauer, "A review of modified DLC coatings for biological applications", *Dimondandrelatedmatherials*, ۱۲, ۲۰۰۳, ۵۸۳-۵۸۹.
۱۳. C. Weissmantel, K. Bewilogua, D. Dietrich, H.-J. Erler, H.-J. Hinneberg, S. Klose, W. Nowick, G. Reisse, " Structure and Properties of Quasi-Amorphous Films Prepared by Ion Beam Techniques", *Thin Solid Films*, ۷۲, ۱۹۸۰, ۱۹-۳۱.
۱۴. A. C. Ferrari, B. Kleinsorge, G. Adamopoulos, J. Robertson, W. I. Milne, V. Stolojan b, L. M. Brown b, A. LiBassi c and B. K. Tanner, "Determination of Bonding in Amorphous Carbons by Electron Energy Loss Spectroscopy, Raman Scattering and X-Ray Reflectivity", *Journal of Non-Crystalline Solids*, ۲۶۶-۲۶۹, ۲۰۰۰, ۷۶۰-۷۶۸.
۱۵. P. VijaiBharathy, D. Nataraj, D. Mandalaraj, M.S.R.N. Kiran, J. Silvestre-Albero, Q. Yang, " Influence of Tungesten Content in W-DLC NanocompositeThinFilms Prepared by Hybrid Target Biased Ion beam Assisted Deposition Technique", *International Journal of Nanoscience*, ۱۰, Nos. ۴ & ۵, ۲۰۱۱, ۸۰۱-۸۰۵.
۱۶. HeonWoong Choi, Jung-Hae Choi, Kwang-Ryeol Lee, Jae-PyoungAhn, Kyu Hwan Oh, " Structure and mechanical properties of Ag-incorporated DLC films prepared by a hybrid ion beam deposition system ", *Thin Solid Films*, ۵۱۶, ۲۰۰۷, ۲۴۸-۲۵۱.
۱۷. X. J. Hu, J. S. Ye, H. J. Liu, Y. G. Shen, X. H. Chen, and H. Hu, " n-type conductivity and phase transition in ultrananocrystalline diamond films by oxygen ion implantation and annealing ", *Journal of Applied Physics*, 109, 2011, 053524.

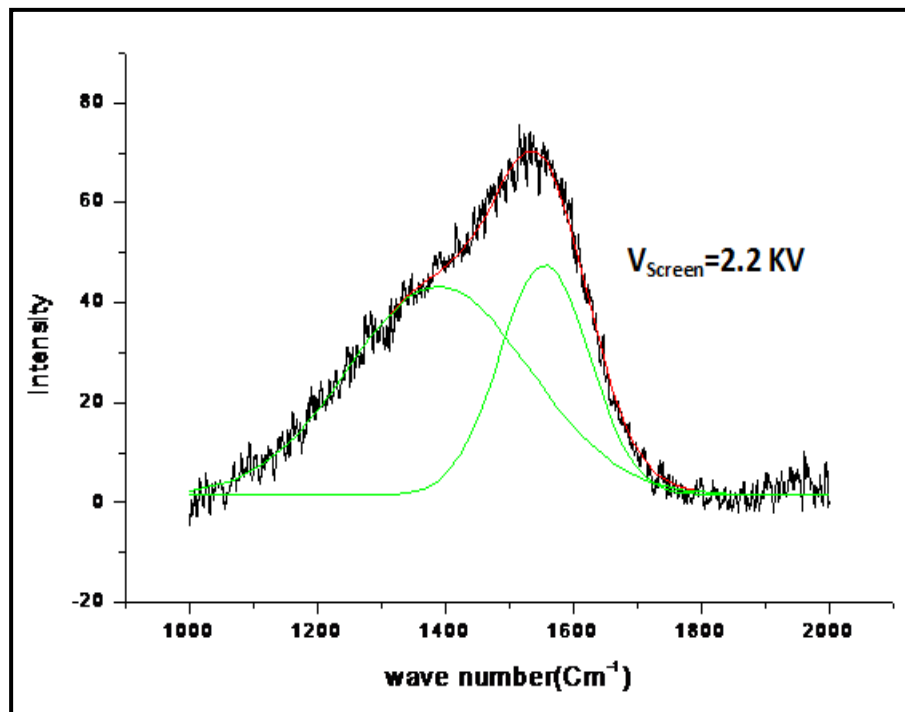
۱۸. Sk. Faruque Ahmed ,Myoung-Woon Moon, Kwang-Ryeol Lee, " Effect of silver doping on optical property of diamond like carbon films ", *Thin Solid Films*, ۵۱۷, ۲۰۰۹, ۴۰۳۰–۴۰۳۸.
۱۹. L. Bai, G. Zhang, Z. Wu, J. Wang, P. Yan, "Effect of different ion beam energy on properties of amorphous carbon film fabricated by ion beam sputtering deposition (IBSD)"*, Nuclear Instruments and Methods in Physics Research B*, ۲۶۹, ۲۰۱۱, ۱۸۷۱–۱۸۷۷.
۲۰. P. VijaiBharathy, D. Nataraja, Paul K. Chu, Huaiyu Wang, Q. Yang, M.S.R.N. Kiran, J. Silvestre-Albero, D. Mangalaraj, " Effect of titanium incorporation on the structural, mechanical and biocompatible properties of DLC thin films prepared by reactive-biased target ion beam deposition method", *Applied Surface Science*, ۲۵۷, ۲۰۱۰, ۱۴۳–۱۵۰.

جدول ۱: گزارش نسبت  $I_D/I_G$  در ساختار لایه نازک a:DLC با استفاده از طیف رامان.

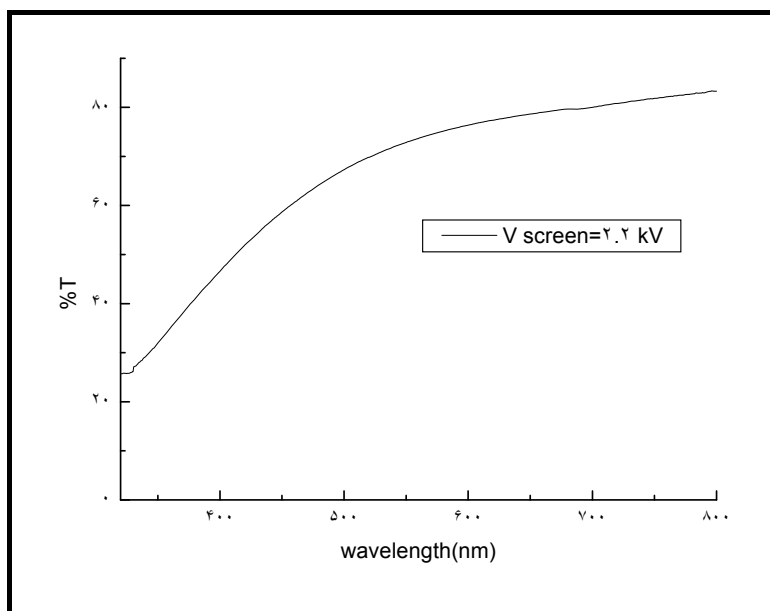
$V_{Screen}(kV)$	ID/IG	Position of G peak ( $\text{cm}^{-1}$ )	Position of D peak ( $\text{cm}^{-1}$ )
۲/۲	۰/۸۹	۱۵۵۴/۹	۱۳۸۹/۶



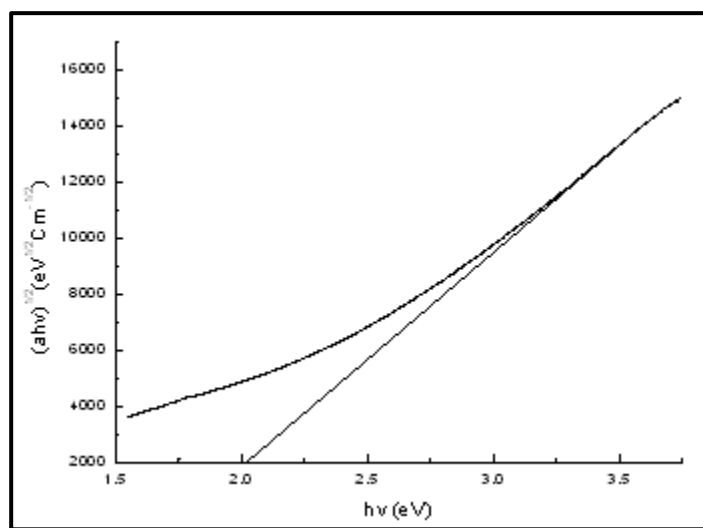
شکل ۱: نمایش شماتیک فرآیند انباشت با استفاده از کندوپاش توسط پرتویونی



شکل ۲: نمایش طیف رامان لایه نازک a:DLC ایجاد شده با استفاده از روش IBSD

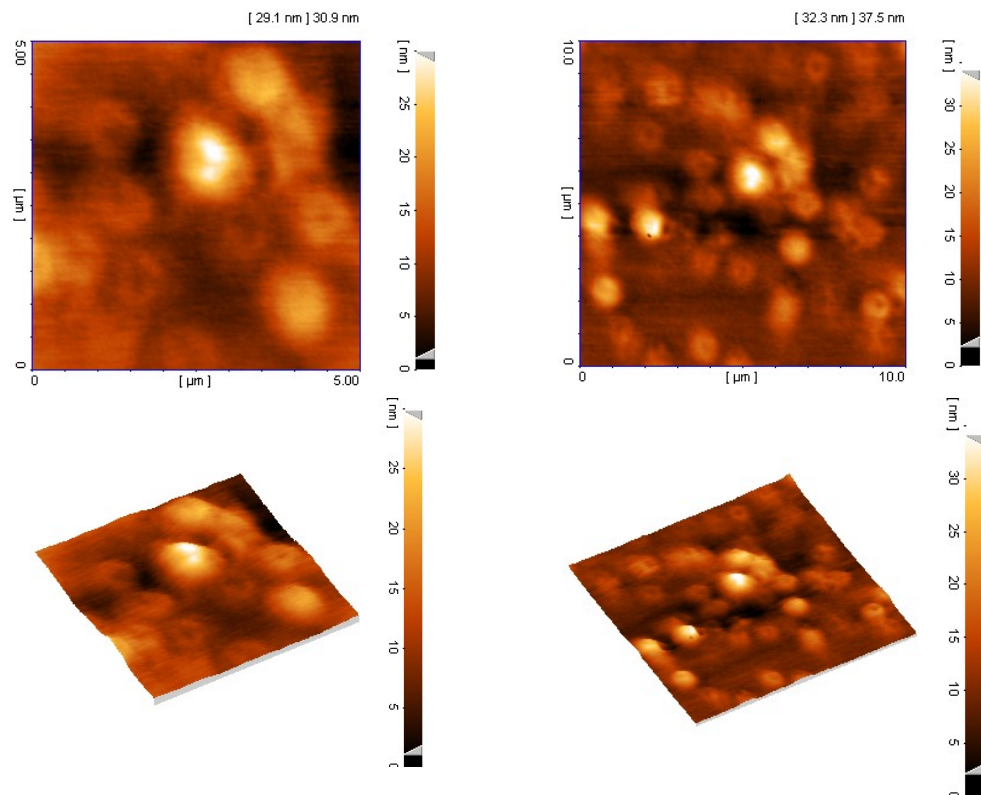


شکل ۳: نمایش طیف عبور لایه نازک a:DLC ایجاد شده با استفاده از روش IBSD در محدوده UV-Vis spectroscopy ۳۰۰-۸۰۰ nm با استفاده از دستگاه

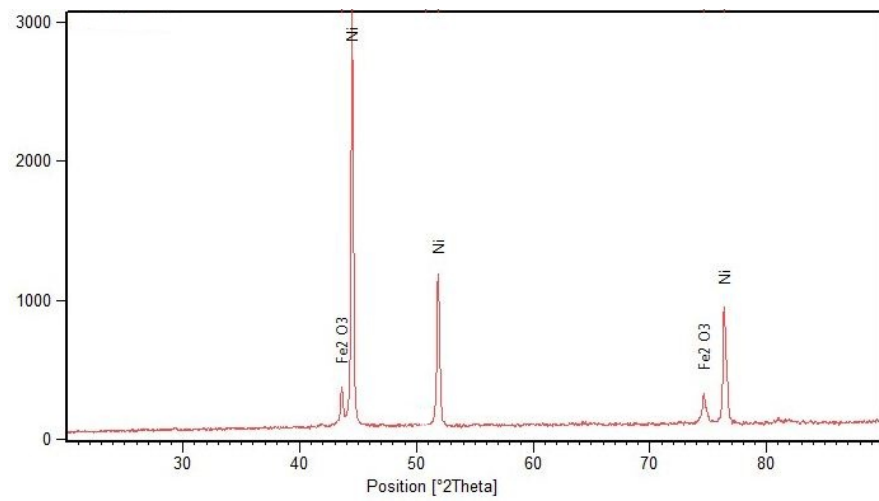


شکل ۴: نمایش تغییرات  $(ahv)^{1/2}$  نسبت به  $h\nu$  در لایه a:DLC ایباشت شده با استفاده از روش IBSD

## پانزدهمین سمینار ملی مهندسی سطح



شکل ۵: نمایش AFM لایه نازک a:DLC اباشت شدها استفاده از روش IBSD به مدت ۲۰ min.



شکل ۵: آنالیز XRD پوشش کامپوزیتی در شرایط بهینه (دانسیته جریان اعمالی ۲۰ میلی آمپر بر سانتی متر مربع).